

В.В.Лопушенко

МЕТОД ИНТЕГРАЛЬНЫХ УРАВНЕНИЙ В СПЕКТРАЛЬНОЙ ОБЛАСТИ ДЛЯ МОДЕЛИРОВАНИЯ РАССЕИВАЮЩИХ СВОЙСТВ ГРУППЫ ПЛОСКИХ ЧАСТИЦ В ПРИСУТСТВИИ ПОДЛОЖКИ

ВВЕДЕНИЕ

Важным классом дефектов, встречающихся при производстве различных электронных устройств, является множество малозаметных объектов в виде плоских протяженных частиц малой высоты. В то время как высота частиц обычно не превышает нескольких нанометров, их диаметр может быть значительным - до нескольких микрометров. При этом встречаются как одиночные дефекты, так и группы близкорасположенных дефектов данного класса. Использование оптических сканеров для надежного обнаружения и идентификации подобных дефектов требует наличия адекватных средств математического моделирования и изучения их рассеивающих свойств.

Одним из наиболее универсальных и мощных инструментов теории рассеяния является метод интегральных уравнений [1], который используется при анализе рассеивающих свойств различных объектов в течение многих десятилетий. Различные модификации метода были предложены недавно для построения математических моделей рассеяния на тонких протяженных частицах в свободном пространстве [2,3] с использованием интегральных уравнений в пространственной и спектральной областях. В работе [4] представлен метод объемных интегральных уравнений в спектральной области для объектов малой толщины, расположенных на подложке. Метод показал свою высокую эффективность в анализе рассеяния света плоскими цилиндрическими дефектами подложек [5], имеющими разную форму и степень вытянутости.

В настоящей работе метод объемных интегральных уравнений в спектральной области, предложенный в [4,5], обобщен на случай групп плоских поверхностных дефектов подложки. Как и в случае одиночных дефектов, рассматриваются группы сплюснутых цилиндров, расположен-

ных на подложке или на некотором расстоянии от нее. Метод строится на основе тензора Грина полупространства [1] с последующим переходом в спектральную область. Показано, что полученное уравнение типа свертки в спектральной области обладает тем преимуществом, что решение может быть построено на равномерной сетке независимо от количества и расположения частиц в группе, что позволяет использовать высокопроизводительные алгоритмы, такие как Быстрое преобразование Фурье (БПФ). Кроме того, рассеянное поле в дальней зоне непосредственно вычисляется через полученное в спектральной области решение интегрального уравнения. С помощью построенной математической модели проведен анализ рассеивающих характеристик ряда структур различной геометрии. В частности, исследовано поведение диаграммы рассеяния в зависимости от поляризации падающей плоской волны, а также расстояния между объектами в структуре и показателя преломления частиц.

1. ПОСТАНОВКА ЗАДАЧИ

Пусть плоская электромагнитная волна $\{\mathbf{E}^0, \mathbf{H}^0\}$ линейной поляризации \mathbf{P} или \mathbf{S} , меняющаяся во времени по закону $\exp(i\omega t)$, падает под углом θ_0 относительно оси Oz на плоскую границу Ξ раздела воздух-подложка $D_0 - D_1$, как показано на рис. 1, а пара однородных частиц, занимающих области $D_{2,3}$, с гладкими границами $\partial D_{2,3}$, расположена на поверхности Ξ , совпадающей с плоскостью Oxy , при этом расстояние между их центрами равно d . Полагая, что $\{\mathbf{E}_m, \mathbf{H}_m\}$ - полное и $\{\mathbf{E}_m^s, \mathbf{H}_m^s\}$ - рассеянное поля в соответствующих областях D_m , $m = \overline{0,3}$, с диэлектрическими проницаемостями ϵ_m , волновое число $k = \omega / c$, а $\mathbf{n}_{2,3}$ - нормали к поверхностям $\partial D_{2,3}$,

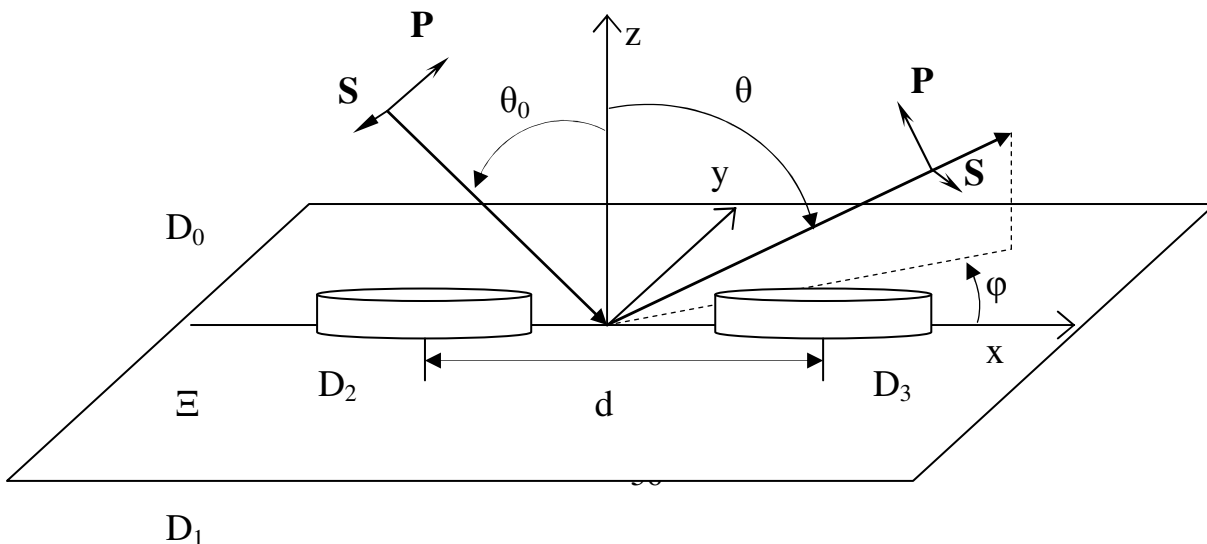


Рис. 1. Геометрия задачи.

сформулируем математическую постановку задачи рассеяния следующим образом:

$$\operatorname{rot} \mathbf{H}_m = ik\varepsilon_m \mathbf{E}_m, \quad \operatorname{rot} \mathbf{E}_m = -ik\mathbf{H}_m \quad \text{в } D_m, \quad m = \overline{0,3}, \quad (1.1)$$

$$\begin{aligned} \mathbf{n}_{2,3}(P) \times (\mathbf{E}_{2,3}(P) - \mathbf{E}_0(P)) &= 0, \\ \mathbf{n}_{2,3}(P) \times (\mathbf{H}_{2,3}(P) - \mathbf{H}_0(P)) &= 0, \end{aligned} \quad P \in \partial D_{2,3},$$

$$\begin{aligned} \mathbf{e}_z \times (\mathbf{E}_0(P) - \mathbf{E}_1(P)) &= 0, \\ \mathbf{e}_z \times (\mathbf{H}_0(P) - \mathbf{H}_1(P)) &= 0, \end{aligned} \quad P \in \Xi,$$

$$\lim_{R \rightarrow \infty} R \cdot \left(\frac{\mathbf{R}}{R} \times \sqrt{\varepsilon_0} \mathbf{E}_0^s - \sqrt{\mu_0} \mathbf{H}_0^s \right) = 0, \quad R = |M(x, y, z)| \rightarrow \infty, \quad z > 0,$$

$$(|\mathbf{E}_1^s|, |\mathbf{H}_1^s|) = o(\exp\{-|\operatorname{Im} k \sqrt{\varepsilon_1}| R\}), \quad z < 0.$$

Учитывая, что рассеянное поле в D_m , $m = \overline{0,3}$ определяется как разность полного поля и поля плоской волны

$$\mathbf{E}_m^s = \mathbf{E}_m - \mathbf{E}_m^0, \quad \mathbf{H}_m^s = \mathbf{H}_m - \mathbf{H}_m^0, \quad (1.2)$$

и освобождаясь от нижних индексов в обозначениях падающего, рассеянного и полного полей во всем верхнем полупространстве:

$$\mathbf{E}^0 \equiv \mathbf{E}_0^0, \quad \mathbf{H}^0 \equiv \mathbf{H}_0^0,$$

$$\mathbf{E}^s, \mathbf{E}(P) \equiv \begin{cases} \mathbf{E}_0^s, \mathbf{E}_0(P) & P \in D_0 \\ \mathbf{E}_2^s, \mathbf{E}_2(P) & P \in D_2, \\ \mathbf{E}_3^s, \mathbf{E}_3(P) & P \in D_3 \end{cases}, \quad \mathbf{H}^s, \mathbf{H}(P) \equiv \begin{cases} \mathbf{H}_0^s, \mathbf{H}_0(P) & P \in D_0 \\ \mathbf{H}_2^s, \mathbf{H}_2(P) & P \in D_2, \\ \mathbf{H}_3^s, \mathbf{H}_3(P) & P \in D_3 \end{cases},$$

из (1.1) получим систему:

$$\begin{cases} \operatorname{rot} \mathbf{E}^s = -ik\mathbf{H}^s \\ \operatorname{rot} \mathbf{H}^s = ik\varepsilon_0\mathbf{E}^s + \mathbf{I}^E \end{cases} \quad (1.3)$$

$$\text{где ток } \mathbf{I}^E = ik(\varepsilon - \varepsilon_0)\mathbf{E} \quad (1.4)$$

принимает ненулевые значения в точках $P \in D = D_2 \cup D_3$, а функция диэлектрической проницаемости $\varepsilon(P) = \varepsilon_m$, $P \in D_m$.

Решение (1.3) будем искать с помощью тензора Грина полупространства [1], который используется для представления векторного потенциала тока \mathbf{j} в области D в виде

$$\mathbf{A}(M) = \int_D \mathbf{G}(M, P) \mathbf{j}(P) dv_P, \quad (1.5)$$

где $\mathbf{G}(M, P)$ имеет структуру

$$\mathbf{G}(M, P) = \begin{bmatrix} G_{11} & 0 & 0 \\ 0 & G_{11} & 0 \\ \partial G_{31}/\partial x_M & \partial G_{31}/\partial y_M & G_{33} \end{bmatrix}, \quad (1.6)$$

а компоненты представимы в виде

$$G_{nm}(M, P) = \frac{1}{2\pi} \int_0^\infty J_0(\beta r) v_{nm}(\beta, z_M, z_P) \beta d\beta, \quad (n, m) = (1, 1), (3, 3), (3, 1). \quad (1.7)$$

Здесь $r^2 = (x_M - x_P)^2 + (y_M - y_P)^2$, $J_0(\cdot)$ – цилиндрическая функция Бесселя, (x_l, y_l, z_l) , $l = M, P$ – декартовы координаты точек M и P . Для спектральных функций v_{nm} справедливы следующие представления:

$$\begin{aligned} v_{11}(\beta, z_M, z_P) &= \zeta_{11}^- \exp\{-\eta_0 |z_P - z_M|\} + \zeta_{11}^+ \exp\{-\eta_0 (z_P + z_M)\} \\ \zeta_{11}^-(\beta) &= \frac{1}{2\eta_0} \quad \zeta_{11}^+(\beta) = \frac{\eta_0 - \eta_1}{\eta_0 + \eta_1} \frac{1}{2\eta_0} \\ v_{33}(\lambda, z_M, z_P) &= \zeta_{33}^- \exp\{-\eta_0 |z_P - z_M|\} + \zeta_{33}^+ \exp\{-\eta_0 (z_P + z_M)\}, \end{aligned} \quad (1.8)$$

$$\zeta_{33}^-(\beta) = \frac{1}{2\eta_0}, \quad \zeta_{33}^+ = \frac{\varepsilon_1\eta_0 - \varepsilon_0\eta_1}{\varepsilon_1\eta_0 + \varepsilon_0\eta_1} \frac{1}{2\eta_0},$$

$$v_{31}(\lambda, z_M, z_P) = \zeta_{31}^+ \exp\{-\eta_0(z_P + z_M)\}, \quad \zeta_{31}^+ = \frac{\varepsilon_1 - \varepsilon_0}{(\eta_0 + \eta_1)(\varepsilon_1\eta_0 + \varepsilon_0\eta_1)}, \quad z_M, z_P > 0,$$

где $\eta_n^2 = \beta^2 - k_n^2$, $k_n^2 = k^2 \varepsilon_n$, $n = 0, 1$. Спектральные функции обеспечивают выполнение условий сопряжения на границе $z = 0$ [1].

Рассеянное поле \mathbf{E}^s в верхнем полупространстве может быть представлено через векторный потенциал \mathbf{A} в виде:

$$\mathbf{E}^s = \frac{1}{ik} (k^2 + \text{grad}(\frac{1}{\varepsilon_0} \text{div})) \mathbf{A}. \quad (1.9)$$

Подставляя (1.4), (1.6) в (1.5) и далее в (1.9), получим следующее уравнение относительно полного поля \mathbf{E} для точек $M \in D$:

$$\mathbf{E}(M) = \mathbf{E}^0(M) + (k^2 + \text{grad}_M(\frac{1}{\varepsilon_0}) \text{div}_M) \int_D \mathbf{G}(M, P) (\varepsilon - \varepsilon_0) \mathbf{E}(P) \mathbf{d}v_P. \quad (1.10)$$

Используя обозначения, принятые в [5] для плотности объемных токов $\mathbf{J} = (\varepsilon - \varepsilon_0) \mathbf{E}$ и $\mathbf{J}^0 = (\varepsilon - \varepsilon_0) \mathbf{E}^0$, перепишем уравнение в виде

$$\mathbf{J}(M) = \mathbf{J}^0(M) + (\varepsilon - \varepsilon_0) (k^2 + \text{grad}_M(\frac{1}{\varepsilon_0}) \text{div}_M) \int_D \mathbf{G}(M, P) \mathbf{J}(P) \mathbf{d}v_P, \quad (1.11)$$

Следует отметить, что интегральное уравнение (1.11) остается справедливым и для структур, насчитывающих произвольное количество $N-1$ частей, когда область $D = \bigcup_{n=2}^N D_n$ состоит из соответствующего числа подобластей. Входящее в (1.11) поле плоской волны $(\mathbf{E}^0, \mathbf{H}^0)$ вычисляется аналитически, как это сделано, например, в [5]. Уравнение (1.11) будет использоваться в качестве основы для построения предлагаемого метода, который будет описан в следующих разделах.

2. ВЫВОД СООТНОШЕНИЙ В СПЕКТРАЛЬНОЙ ОБЛАСТИ

Пусть область $D = D_2 \cup D_3$ состоит из двух непересекающихся подобластей, как это показано на рис.1 . Кроме того, предположим для удобства изложения, что однородные частицы $D_{2,3}$ имеют одинаковые размеры и форму вида $D_n = S_n \times [z_{\min}, z_{\min} + h]$, $n = 2, 3$, где S_n - площадь основания, z_{\min} - возвышение над подложкой, а постоянная высота достаточно мала по сравнению с длиной волны падающего излучения $h \ll \lambda$. Следуя методике [5], построим вычислительный алгоритм в несколько этапов. Сначала аппроксимируем интегралы по z в (1.11), чтобы существенно упростить уравнение, снизив его размерность. Затем, пользуясь преобразованием Фурье по переменным (x, y) , получим из (1.11) уравнение типа свертки в спектральной области. Наконец, применим итерационный метод решения уравнения, используя известные быстрые алгоритмы вычисления свертки.

Вводя операторы прямого и обратного преобразования Фурье

$$\mathcal{F}(g)(k_x, k_y) = \int_{-\infty}^{\infty} \int_{-\infty}^{\infty} g(x, y) \exp(ik_x x + ik_y y) dx dy, \quad (2.1)$$

$$\mathcal{F}^{-1}(q)(x, y) = \frac{1}{4\pi^2} \int_{-\infty}^{\infty} \int_{-\infty}^{\infty} q(k_x, k_y) \exp(-ik_x x - ik_y y) dk_x dk_y, \quad (2.2)$$

и используя связь между преобразованиями Фурье и Фурье-Бесселя, представим компоненты тензора Грина (1.7) со спектральным параметром $\beta = \sqrt{k_x^2 + k_y^2}$ в виде

$$\begin{aligned} G_{nm}(M, P) &= \mathcal{F}^{-1}(v_{nm})(x_M - x_P, y_M - y_P) = \\ &= \frac{1}{4\pi^2} \int_{-\infty}^{\infty} \int_{-\infty}^{\infty} v_{nm}(\beta, z_M, z_P) \exp(-ik_x(x_M - x_P) - ik_y(y_M - y_P)) dk_x dk_y. \end{aligned} \quad (2.3)$$

Из (1.8) следует, что интегрирование спектральных функций $v_{nm}(\beta, z_M, z_P)$ по переменным z_M, z_P приводит к вычислениям интегралов

$$\Upsilon^-(f)(z_M) = \int_{z_{\min}}^{z_{\min}+h} \exp(-\eta_0 |z_P - z_M|) f(z_P) dz_P \quad (2.4)$$

$$\text{и } \Upsilon^+(f)(z_M) = \int_{z_{\min}}^{z_{\min}+h} \exp(-\eta_0(z_P + z_M)) f(z_P) dz_P. \quad (2.5)$$

Из соотношений (2.4), (2.5) становится очевидной целесообразность предположения об одинаковой форме частиц, так как совпадающие возвышение z_{\min} и высота h делают последующие вычисления более наглядными. Кроме того, при изучении рассеивающих свойств больших кластеров частиц подобные предположения встречаются весьма часто [6,7].

Благодаря малой толщине h области D , можем аппроксимировать эти интегралы и их производные средними значениями следующего вида:

$$\frac{\partial^n}{\partial z_M^n} \Upsilon^-(f)(z_M) \approx \Psi^{-(n)} f_{av}, \quad \frac{\partial^n}{\partial z_M^n} \Upsilon^+(f)(z_M) \approx \Psi^{+(n)} f_{av}, \quad n=0,1,2, \quad (2.6a)$$

где приняты обозначения:

$$\Psi^{-(n)} = \frac{1}{h} \int_{z_{\min}}^{z_{\min}+h} \frac{\partial^n}{\partial z_M^n} \int_{z_{\min}}^{z_{\min}+h} \exp(-\eta_0 |z_P - z_M|) dz_P dz_M, \quad (2.6b)$$

$$\Psi^{+(n)} = \frac{1}{h} \int_{z_{\min}}^{z_{\min}+h} \frac{\partial^n}{\partial z_M^n} \int_{z_{\min}}^{z_{\min}+h} \exp(-\eta_0 (z_P + z_M)) dz_P dz_M, \quad (2.6c)$$

$$f_{av} = \frac{1}{h} \int_{z_{\min}}^{z_{\min}+h} f(z_P) dz_P. \quad (2.6d)$$

Величины $\Psi^{\pm(n)}$ вычисляются аналитически:

$$\Psi^{-(0)} = \frac{2}{\eta_0} \left(1 - \frac{(1 - \exp(-\eta_0 h))}{\eta_0 h} \right); \quad \Psi^{-(1)} = 0; \quad \Psi^{-(2)} = -\frac{2(1 - \exp(-\eta_0 h))}{h}; \quad (2.7a)$$

$$\Psi^{+(0)} = \exp(-2\eta_0 z_{\min}) \frac{(1 - \exp(-\eta_0 h))^2}{\eta_0^2 h}, \quad \Psi^{+(1)} = -\eta_0 \Psi^{+(0)}, \quad \Psi^{+(2)} = -\eta_0 \Psi^{+(1)}. \quad (2.7b)$$

Полученные приближенные значения интегралов и их производных будем использовать при расчете тензора

$$\mathbf{G}^1(M, P) = (k^2 + \text{grad}_M \left(\frac{1}{\varepsilon_0} \right) \text{div}_M) \mathbf{G}(M, P), \quad (2.8)$$

который в явном виде выглядит следующим образом:

$$\mathbf{G}^1 = \begin{pmatrix} k^2 G_{11} + \frac{1}{\varepsilon_0} \left(\frac{\partial^2 G_{11}}{\partial x_M^2} + \frac{\partial^3 G_{31}}{\partial x_M^2 \partial z_M} \right) & \frac{1}{\varepsilon_0} \left(\frac{\partial^2 G_{11}}{\partial x_M \partial y_M} + \frac{\partial^3 G_{31}}{\partial x_M \partial y_M \partial z_M} \right) & \frac{1}{\varepsilon_0} \frac{\partial^2 G_{33}}{\partial x_M \partial z_M} \\ \frac{1}{\varepsilon_0} \left(\frac{\partial^2 G_{11}}{\partial x_M \partial y_M} + \frac{\partial^3 G_{31}}{\partial x_M \partial y_M \partial z_M} \right) & k^2 G_{11} + \frac{1}{\varepsilon_0} \left(\frac{\partial^2 G_{11}}{\partial y_M^2} + \frac{\partial^3 G_{31}}{\partial y_M^2 \partial z_M} \right) & \frac{1}{\varepsilon_0} \frac{\partial^2 G_{33}}{\partial y_M \partial z_M} \\ k^2 \frac{\partial G_{31}}{\partial x_M} + \frac{1}{\varepsilon_0} \left(\frac{\partial^2 G_{11}}{\partial x_M \partial z_M} + \frac{\partial^3 G_{31}}{\partial x_M \partial z_M^2} \right) & k^2 \frac{\partial G_{31}}{\partial y_M} + \frac{1}{\varepsilon_0} \left(\frac{\partial^2 G_{11}}{\partial y_M \partial z_M} + \frac{\partial^3 G_{31}}{\partial y_M \partial z_M^2} \right) & k^2 G_{33} + \frac{1}{\varepsilon_0} \frac{\partial^2 G_{33}}{\partial z_M^2} \end{pmatrix}$$

Подставляя (2.3), (2.8) в (1.11) и дифференцируя по переменным (x_M, y_M, z_M) с учетом (2.6), (2.7), получим двумерное уравнение в переменных (k_x, k_y) относительно Фурье-образа усредненной по z в соответствии с (2.6d) искомой плотности тока

$$\mathcal{F}(\mathbf{J}_{av}) = \mathcal{F}((\varepsilon - \varepsilon_0) \mathbf{T} \mathcal{F}(\mathbf{J}_{av})) + \mathbf{R} \quad (2.9)$$

$$\text{с правой частью } \mathbf{R} = \mathcal{F}(\mathbf{J}_{av}^0). \quad (2.10)$$

Матрица \mathbf{T} имеет компоненты

$$\begin{aligned} T_{11} &= \left(k^2 - \frac{k_x^2}{\varepsilon_0} \right) \left(\zeta_{11}^- \Psi^{-0} + \zeta_{11}^+ \Psi^{+0} \right) - \frac{k_x^2 \zeta_{31}^+ \Psi^{+1}}{\varepsilon_0}, \\ T_{12} &= -\frac{k_x k_y}{\varepsilon_0} \left(\zeta_{11}^- \Psi^{-0} + \zeta_{11}^+ \Psi^{+0} \right) - \frac{k_x k_y \zeta_{31}^+ \Psi^{+1}}{\varepsilon_0}, \quad T_{21} = T_{12}, \\ T_{13} &= -\frac{i k_x \zeta_{33}^+ \Psi^{+1}}{\varepsilon_0}, \quad T_{22} = \left(k^2 - \frac{k_y^2}{\varepsilon_0} \right) \left(\zeta_{11}^- \Psi^{-0} + \zeta_{11}^+ \Psi^{+0} \right) - \frac{k_y^2 \zeta_{31}^+ \Psi^{+1}}{\varepsilon_0}, \quad (2.11) \\ T_{23} &= -\frac{i k_y \zeta_{33}^+ \Psi^{+1}}{\varepsilon_0}, \quad T_{31} = -i k^2 k_x \zeta_{31}^+ \Psi^{+0} - \frac{i k_x}{\varepsilon_0} \left(\zeta_{11}^+ \Psi^{+1} + \zeta_{31}^+ \Psi^{+2} \right), \end{aligned}$$

$$T_{32} = -ik^2 k_y \zeta_{31}^+ \Psi^{+(0)} - \frac{ik_y}{\varepsilon_0} (\zeta_{11}^+ \Psi^{+(1)} + \zeta_{31}^+ \Psi^{+(2)})$$

$$T_{33} = k^2 (\zeta_{33}^- \Psi^{-+(0)} + \zeta_{33}^+ \Psi^{+(0)}) + \frac{(\zeta_{33}^- \Psi^{-+(2)} + \zeta_{33}^+ \Psi^{+(2)})}{\varepsilon_0}.$$

Заметим, что в уравнении (2.9) при рассмотрении одинаковых частиц с $\varepsilon = \varepsilon_2 = \varepsilon_3 = const$ диэлектрический контраст $(\varepsilon - \varepsilon_0)$ как постоянный множитель может быть вынесен за знак интеграла и понадобится лишь вычислить свертку подынтегрального выражения, содержащего искомое решение, с образом площади $S = S_2 \cup S_3$ неоднородности. В свою очередь, при условии сдвиговой эквивалентности оснований $S_n(x, y) = S_{ref}(x - x_n, y - y_n)$, $n = 2, 3$, Фурье образ площади $S(x, y)$ вычисляется как

$$\mathcal{F}(S) = \mathcal{F}(S_{ref}) \sum_{n=2}^3 \exp(ik_x x_n + ik_y y_n).$$

Таким образом, при рассмотрении группы одинаковых частиц, отличающихся лишь смещением относительно начала координат, уравнение (2.9) изменяется незначительно по сравнению со случаем одиночной частицы, сохраняя возможность построения равномерной сетки в прямоугольнике $\Pi = [-\mathcal{K}_x / 2, \mathcal{K}_x / 2] \times [-\mathcal{K}_y / 2, \mathcal{K}_y / 2]$ таком, что $\mathcal{F}(S_{ref})(\pm \mathcal{K}_x / 2, k_y) \ll 1$ и $\mathcal{F}(S_{ref})(k_x, \pm \mathcal{K}_y / 2) \ll 1$. Следовательно, можно построить эффективную численную схему на базе быстрых алгоритмов вычисления свертки и решать систему (2.9) с помощью итерационных методов, например, метода минимальных невязок (GMRES).

3. ВЫЧИСЛЕНИЕ ДИАГРАММЫ РАССЕЯНИЯ

По аналогии с [5] покажем, что как и в случае одиночных рассеивателей, по найденному решению системы (2.9) можно легко вычислить характеристики поля группы частиц в дальней зоне. Для этого рассмотрим выражение для тензора Грина (2.8) в сферических координатах $M(R, \theta, \varphi)$ при $R \rightarrow \infty$:

$$\mathbf{G}^{1, far} = \frac{\exp(-ik_0 R)}{R} \tilde{\mathbf{G}}^{1, far} \frac{ik_0 \cos \theta}{2\pi} \exp(ik_0 \sin \theta (x_p \cos \varphi + y_p \sin \varphi)), \quad (3.1)$$

где соответствующие компоненты тензора $\tilde{\mathbf{G}}^{1, far}$ записываются в виде:

$$\begin{aligned} \tilde{G}_{11}^{1, far} &= k^2 \left[(1 - \cos^2 \varphi \sin^2 \theta) v_{11}^{far} + v_{31}^{far} ik_0 \cos \theta \cos^2 \varphi \sin^2 \theta \right], \\ \tilde{G}_{12}^{1, far} &= k^2 \cos \varphi \sin \varphi \sin^2 \theta \left[-v_{11}^{far} + v_{31}^{far} ik_0 \cos \theta \right], \quad \tilde{G}_{21}^{1, far} = \tilde{G}_{12}^{1, far}, \\ \tilde{G}_{13}^{1, far} &= -k^2 v_{33}^{far} \cos \varphi \cos \theta \sin \theta, \\ \tilde{G}_{22}^{1, far} &= k^2 \left[(1 - \sin^2 \varphi \sin^2 \theta) v_{11}^{far} + v_{31}^{far} ik_0 \cos \theta \sin^2 \varphi \sin^2 \theta \right], \\ \tilde{G}_{23}^{1, far} &= -k^2 v_{33}^{far} \sin \varphi \cos \theta \sin \theta, \\ \tilde{G}_{31}^{1, far} &= -k^2 \cos \varphi \sin \theta \left[v_{11}^{far} \cos \theta + v_{31}^{far} ik_0 \sin^2 \theta \right], \\ \tilde{G}_{32}^{1, far} &= -k^2 \sin \varphi \sin \theta \left[v_{11}^{far} \cos \theta + v_{31}^{far} ik_0 \sin^2 \theta \right], \quad \tilde{G}_{33}^{1, far} = k^2 v_{33}^{far} \sin^2 \theta. \end{aligned}$$

а спектральные функции (1.8) принимают форму

$$\begin{aligned} v_{11}^{far}(k_0 \sin \theta, z_p) &= \zeta_{11}^-(k_0 \sin \theta) \exp(ik_0 z_p \cos \theta) + \zeta_{11}^+(k_0 \sin \theta) \exp(-ik_0 z_p \cos \theta) \\ v_{33}^{far}(k_0 \sin \theta, z_p) &= \zeta_{33}^-(k_0 \sin \theta) \exp(ik_0 z_p \cos \theta) + \zeta_{33}^+(k_0 \sin \theta) \exp(-ik_0 z_p \cos \theta) \\ v_{31}^{far}(k_0 \sin \theta, z_p) &= \zeta_{31}^+(k_0 \sin \theta) \exp(-ik_0 z_p \cos \theta). \end{aligned} \quad (3.2)$$

Рассеянное поле в дальней зоне вычисляется из (1.10) как интеграл

$$\mathbf{E}^{s, far}(M) = \int_D \mathbf{G}^{1, far}(M, P) \mathbf{J}(P) \mathbf{d}v_P, \quad (3.3)$$

а для диаграммы направленности $\mathbf{F}(\theta, \varphi)$, определяемой как

$$\mathbf{E}^{s, far} = \frac{\exp(-ik_0 R)}{R} \mathbf{F}(\theta, \varphi), \quad (3.4)$$

имеем

$$\mathbf{F} = \frac{ik_0 \cos \theta}{2\pi} \int_D \tilde{\mathbf{G}}^{1, far}(\theta, \varphi, z_p) \exp(ik_0 \sin \theta (x_p \cos \varphi + y_p \sin \varphi)) \mathbf{J}(P) \mathbf{d}v_P \quad (3.5)$$

или, принимая во внимание аппроксимацию (2.6d) и найденное в спектральной области решение уравнения (2.9) $\mathcal{F}(\mathbf{J}_{av})$

$$\mathbf{F} = \frac{ik_0 \cos \theta}{2\pi} \int_{z_{\min}}^{z_{\min}+h} \tilde{\mathbf{G}}^{1, far}(\theta, \varphi, z_p) \mathcal{F}(\mathbf{J}_{av}) ((k_0 \sin \theta \cos \varphi, k_0 \sin \theta \sin \varphi)) dz_p \quad (3.6)$$

Таким образом, в выражении для диаграммы рассеяния (3.6) не требуется переход в пространственную область. Это обстоятельство является одним из преимуществ рассматриваемого подхода. Интеграл по переменной z в (3.6) вычисляется аналитически с учетом поляризации падающей плоской волны. С помощью (3.6) могут быть вычислены все необходимые характеристики рассеяния рассматриваемых структур плоских частиц.

4. ЧИСЛЕННЫЕ РЕЗУЛЬТАТЫ

Представленная модель объемного интегрального уравнения в спектральной области была использована для анализа групп дефектов кремниевых подложек, имеющих форму плоских дисков малой высоты h и радиусом основания a и получающихся с помощью операции сдвига по (x, y) опорного цилиндра $D_{ref} = \{(x, y, z) : x^2 + y^2 \leq a^2; z_{\min} \leq z \leq z_{\min} + h\}$, имеющего радиус $a = 50$ нм и высоту $h = 10$ нм. Всюду далее будем полагать, что частица расположена на кремниевой (Si) подложке с показателем преломления $n = 1.85 - 4.43i$, а длина волны падающего излучения $\lambda = 266$ нм. Расчеты проводились для P - и S - поляризованной плоской волны, угол падения которой составляет $\theta_0 = 70^\circ$.

На рис.2,3 приведены результаты расчетов интенсивности рассеянного поля в плоскости падения (плоскость Ozx) в зависимости от угла рассеяния θ при дифракции соответственно P - и S - поляризованной плоской волны на паре частиц полистирола латекса (PSL) (показатель преломления $n = 1.59 - 0.0i$), расположенных вдоль оси Ox с расстоянием между их центрами $d = 100$ нм - кривая 1, $d = 200$ нм - кривая 2 и $d = 400$ нм - кривая 3. Из рис.2,3 видно, что в направлении зеркально отраженного луча кривые почти совпадают, что объясняется эквивалентностью рассеивающих структур. В других направлениях кривые существенно отличаются, в частности, при увеличении зазора между частицами появляется больше осцилляций на графиках.

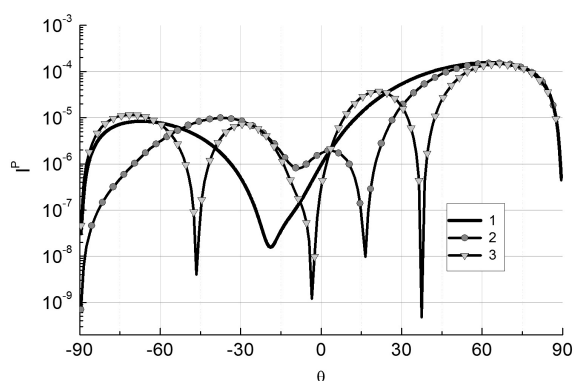


Рис. 2

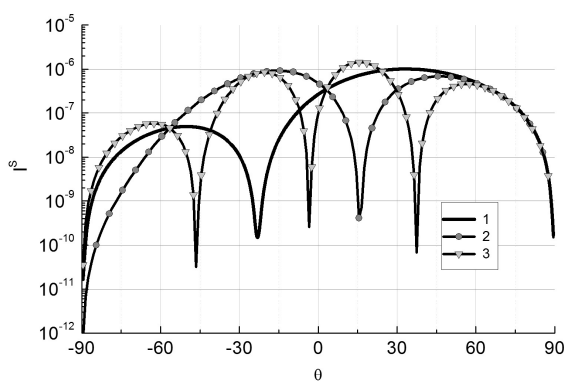


Рис. 3

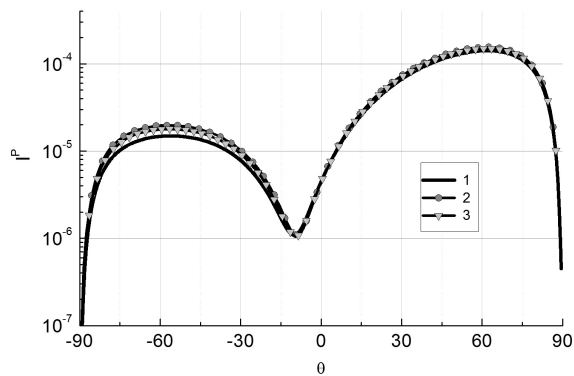


Рис. 4

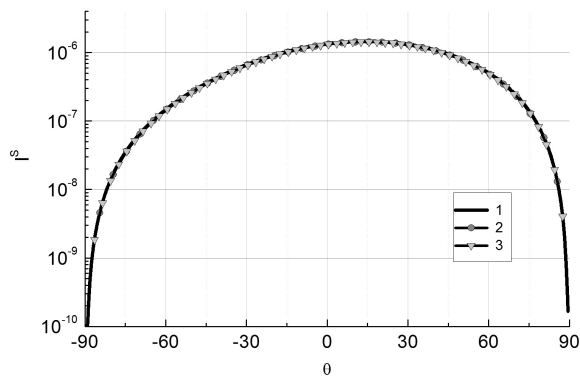


Рис. 5

На рис.4,5 показаны аналогичные кривые интенсивности рассеянного поля в плоскости падения (плоскость Ozx) при дифракции соответственно P - и S - поляризованной плоской волны на паре частиц PSL, расположенных вдоль оси Oy с промежутком между их центрами $d = 100\text{нм}$ - кривая 1, $d = 200\text{нм}$ - кривая 2 и $d = 400\text{нм}$ - кривая 3. Графики демонстрируют хорошее совпадение, что свидетельствует о слабой чувствительности диаграммы рассеяния, рассматриваемой в плоскости падения, к изменению геометрии рассеивающей структуры в перпендикулярном направлении. Одинаковый объем рассеивателей в данном случае приводит к почти полному совпадению кривых.

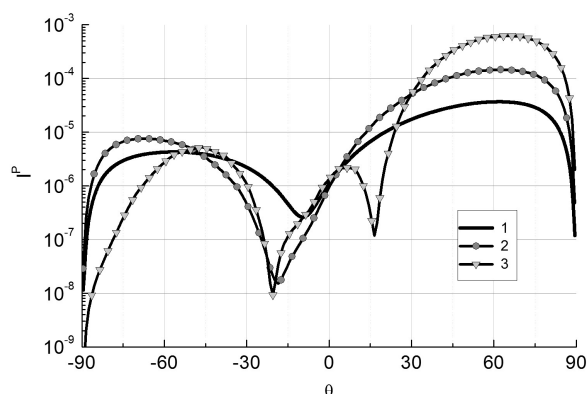


Рис. 6

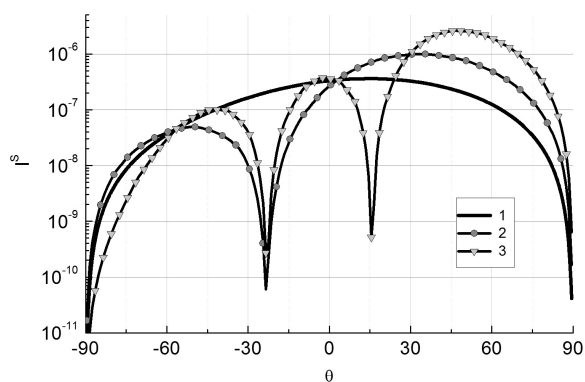


Рис. 7

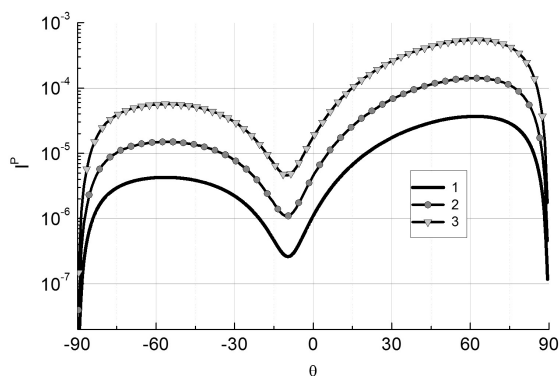


Рис. 8

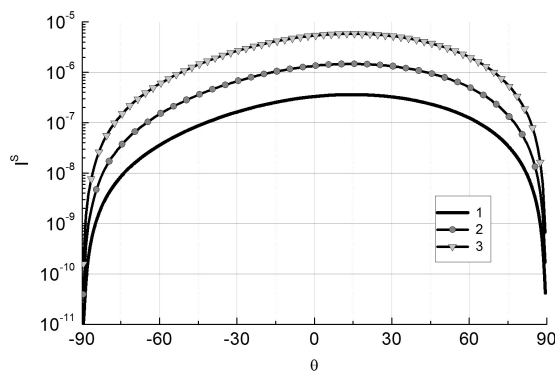


Рис. 9

Рис.6,7 демонстрируют зависимость диаграммы рассеянного поля от количества частиц в группе. Рисунки соответствуют P - и S -поляризованным волнам, падающим на группу PSL частиц, расположенную вдоль оси Ox и состоящую из одной - кривая 1, двух - кривая 2 и четырех частиц - кривая 3. В данном случае частицы вплотную примыкают друг к другу, т.е. расстояние между центрами $d = 100\text{нм}$. Можно заметить, что интенсивность в направлении зеркально отраженного луча растет при увеличении количества частиц, что объясняется соответствующим увеличением суммарного объема рассеивающей структуры. Изменение же геометрии структуры с добавлением новых частиц приводит к появлению дополнительных осцилляций в диаграмме.

Рис.8,9 соответствуют P - и S -поляризованным волнам, рассеянным на группе PSL частиц, расположенную вдоль оси Oy и состоящую из одной - кривая 1, двух - кривая 2 и четырех частиц - кривая 3. Расстояние между центрами частиц $d = 100\text{нм}$. Характер рассеяния в плоскости падения практически одинаков для всех групп, что подтверждает независи-

мость диаграммы рассеяния в плоскости Ozx от изменения геометрии группы частиц в перпендикулярной плоскости Oy . Увеличение интенсивности рассеяния обусловлено лишь изменением суммарного объема группы.

На рисунках 10,11 представлены результаты моделирования для пары титановых (Ti) частиц ($n = 1.18 - 1.26i$) тех же размеров и ориентации, что и на рис.2,3. Наблюдается примерно такая же картина рассеяния, что и в случае PSL частиц – кривые очень близки в направлении зеркального отражения, так как количество частиц и, следовательно, общий объем не меняется. В других направлениях проявляются существенные различия, вызванные увеличением расстояния между частицами и, как следствие, общего размера группы, из-за чего появляется больше осцилляций на графиках.

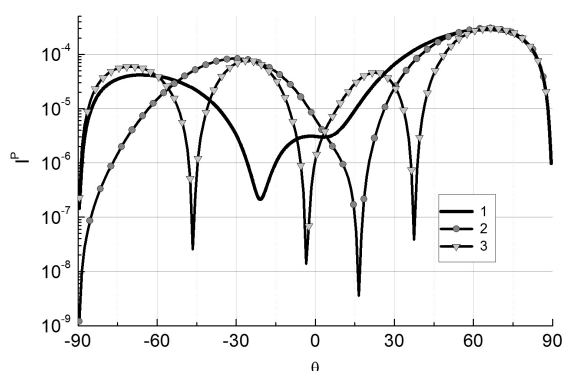


Рис. 10

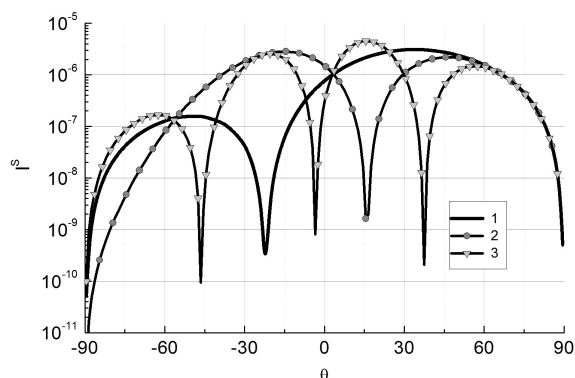


Рис. 11

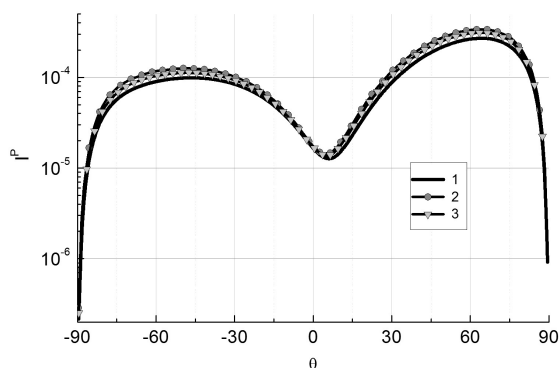


Рис. 12

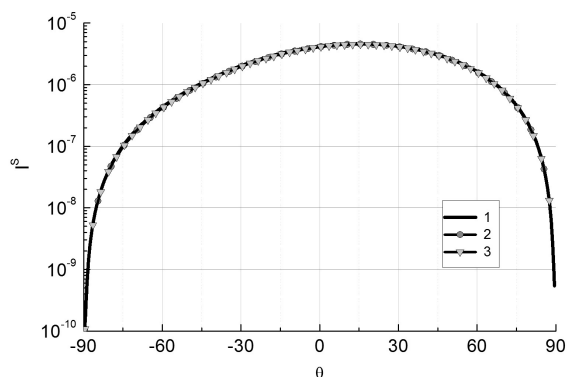


Рис. 13

На рис.12,13 показаны кривые интенсивности рассеянного поля в плоскости падения (плоскость Ozx) при дифракции на паре титановых частиц, расположенных вдоль оси Oy и имеющих размеры и ориентацию,

соответствующих рис. 4,5. Графики вновь демонстрируют хорошее совпадение, так как объем рассеивающей группы не меняется. Увеличение же размеров группы в направлении оси Oy не оказывает влияния на картину рассеяния в плоскости Ozx .

Рис.14,15 демонстрируют влияние количества титановых частиц в группе, ориентированной вдоль оси Ox и аналогичной группе PSL (рис.6,7), на диаграмму рассеяния. В случае как P -, так и S -поляризованной волны интенсивность в направлении зеркально отраженного луча растет при увеличении количества (общего объема) частиц. Увеличение размеров структуры с добавлением новых частиц усиливает осциллирующий характер диаграммы рассеяния.

Совершенно иначе ведут себя группы титановых частиц, ориентированных вдоль оси Oy (Рис.16,17). Как и на рис.8,9, рост интенсивности рассеяния объясняется лишь увеличением объема рассеивающей группы. В остальных отношениях картина рассеяния оказывается нечувствительной к изменениям геометрии группы в перпендикулярном направлении.

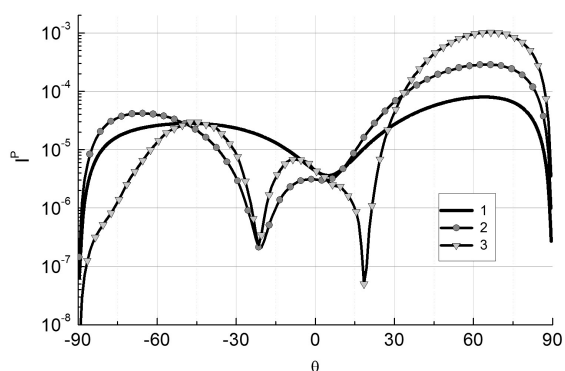


Рис. 14

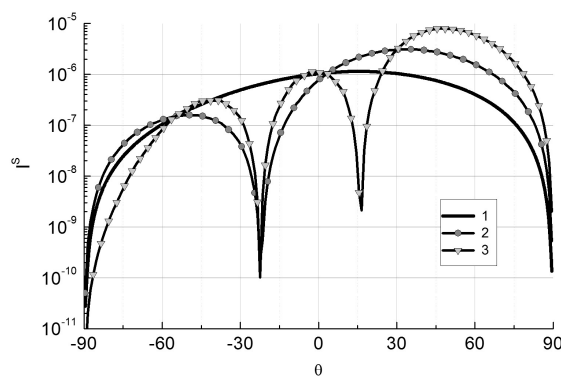


Рис. 15

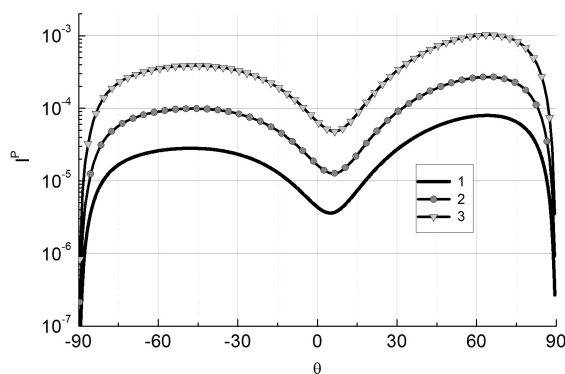


Рис. 16

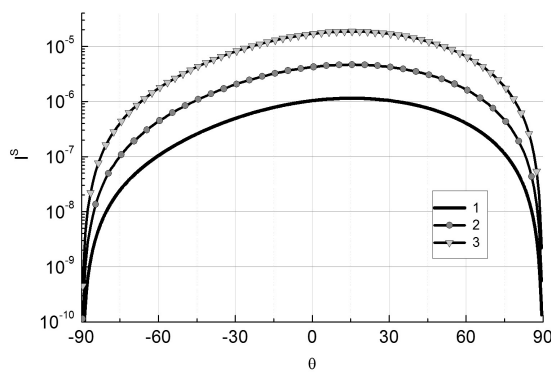


Рис. 17

ЗАКЛЮЧЕНИЕ

Метод интегральных уравнений в спектральной области обобщен на случай групп плоских рассеивателей малой толщины, имеющих форму сплюснутых цилиндров и расположенных вблизи или на поверхности подложки. Разработанная численная схема метода апробирована при расчетах характеристик рассеяния ряда групп, состоящих из одинаковых частиц. Результаты численных экспериментов свидетельствуют о высокой эффективности предложенного подхода применительно к плоским рассеивателям.

СПИСОК ЛИТЕРАТУРЫ

1. Дмитриев В.И., Захаров Е.В. Метод интегральных уравнений в вычислительной электродинамике. //М.: Макс пресс, 2008.
2. Koh I.-S., Sarabandi K. A new approximate solution for scattering by thin dielectric disks of arbitrary size and shape. //IEEE Transactions on Antennas and Propagation. 2005, Vol.53, N6, pp.1920–1926.
3. Balaban M.V. Dual integral equations technique in electromagnetic wave scattering by a thin disk. //Progress In Electromagnetics Research B. 2009, Vol.16, pp.107-126.
4. Eremin Yu.A., Lopushenko V.V. Method of integral equations in the spectral domain for the analysis of plane defects of a substrate //Differential Equations. 2014, Vol.50, N9. pp.1173-1181.
5. Лопушенко В.В. Анализ плоских цилиндрических дефектов подложки методом интегральных уравнений в спектральной области //Прикладная математика и информатика. 2015, том 48, с.56-75.
6. Баженов А.В., Горбунов А.В., Алдушин К.А., Масалов В.М., Емельченко Г.А. Оптические свойства тонких пленок из плотноупакованных SiO₂-сфер //Физика твердого тела. 2002, том 44, вып.6, с.1026-1031.
7. Wurm G., Relke H., Dorschner J., Krauss O. Light scattering experiments with micron-sized dust aggregates: results on ensembles of SiO₂ monospheres and of irregularly shaped graphite particles //Journal of Quantitative Spectroscopy & Radiative Transfer. 2004, Vol.89, pp.371–384